

NOWCASTING SOLARE 23 NOVEMBRE 2015

Nowcasting solare, sommario delle ultime 24 ore: Attività solare che nella giornata di oggi 23 Novembre è rimasta a livelli bassi.

La Regione 2454 (N14W61, Dai/beta-gamma); ha generato il più grande brillamento della giornata, un classe C 8.7 osservato alle ore 02.28 UTC. Nessuna espulsione di massa coronale (CME) è stata generata da questo evento. La regione ha mostrato una lieve crescita nella sua area con un consolidamento nei suoi punti intermedi e nella zona centrale.

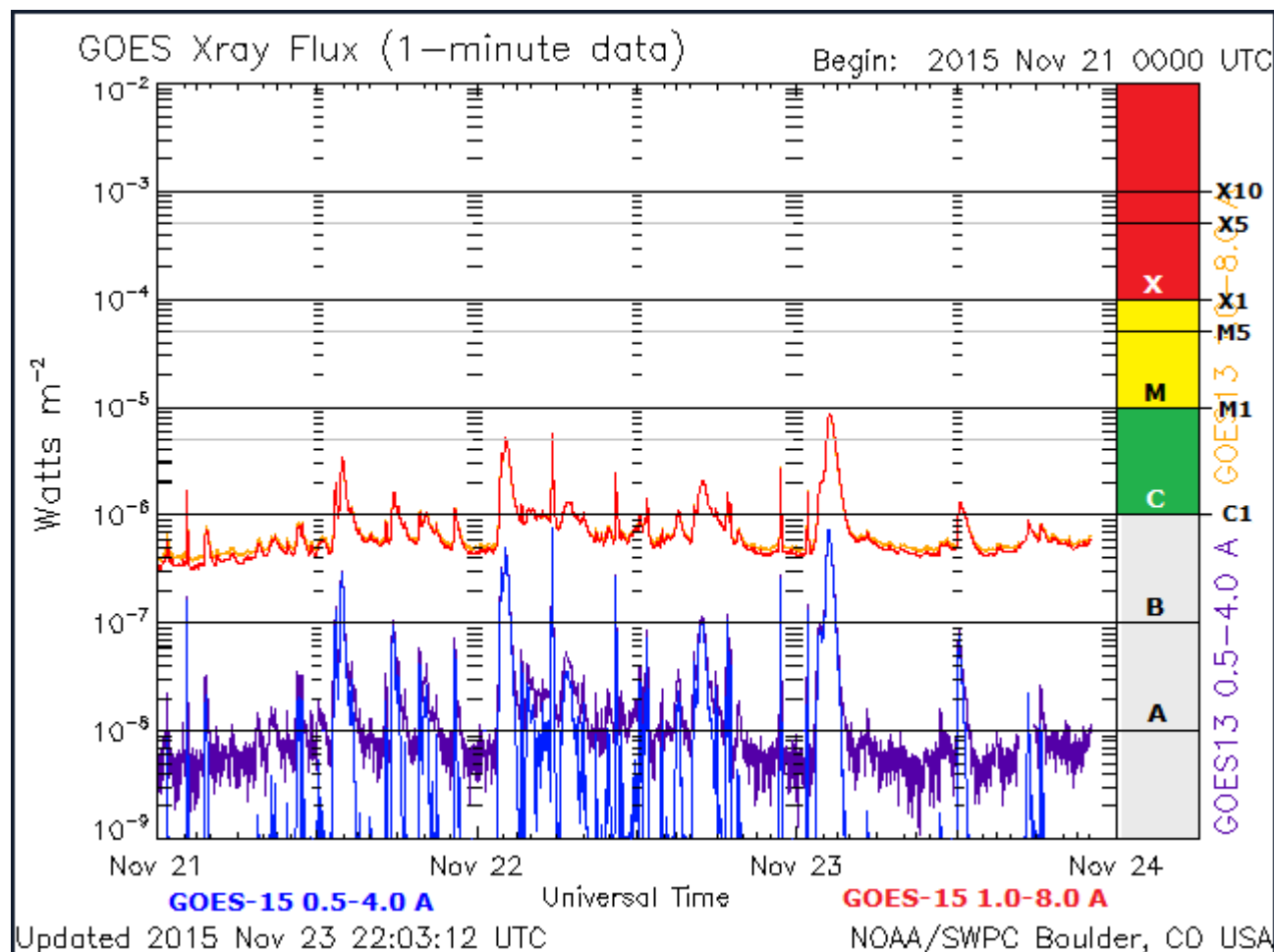
La Regione 2456 (N07W60, BX0/beta) ha mostrato un certo decadimento nella sua zona di penombra in tutta la regione. La Regione 2457 (N11E29, DSi/beta) ha

mostrato un leggero decadimento.

Nessun brillamento di classe M-X è scaturito dalla fotosfera solare.

Nessuna espulsione di massa coronale (CME) è stata osservata in direzione della Terra, dalle immagini del LASCO coronagraph imagery.

Previsioni prossime 72 ore: L'attività solare dovrebbe restare a livelli bassi, con qualche possibilità di brillamenti di classe M (R1-R2 (Minori-Moderati) Radio black-out) per i prossimi tre giorni (24-26 □□novembre).



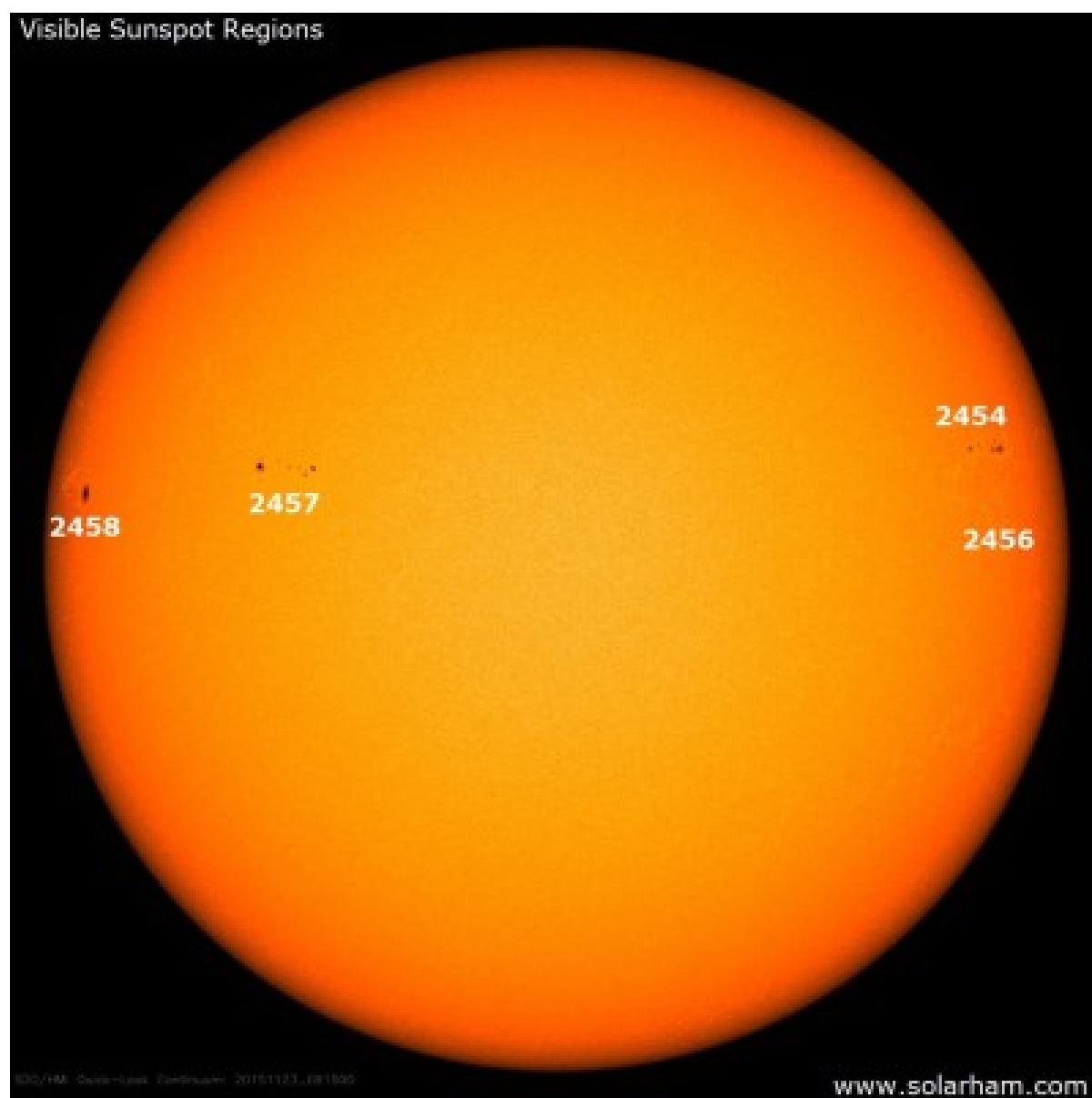
Il grafico dei Raggi X negli ultimi tre giorni

Ne consegue che:

Alle ore 18.00 UTC, il disco solare visibile presentava 4 regioni attive (in risoluzione 2K dalle immagini SDO/HMI Continuum):

Num count	Lat., class	CMD	Long.	Area	Extent	class
2454	N13W53	121 130	8	DAC	16	BG

2456	N06W53	121	20	3	BX0	6	B
2457	N11E36	32	120	8	DAI	13	B
2458	N09E72	356	60	2	HAX	1	A



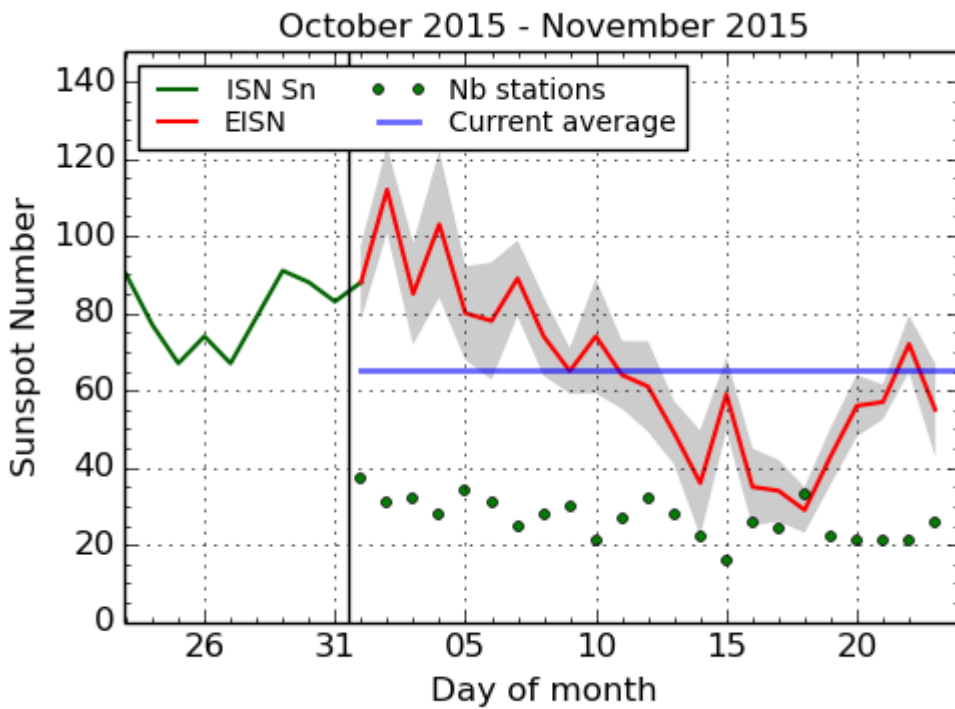
Il campo geomagnetico solare nel corso delle ultime 24 ore è risultato in stato "QUIET" mentre i Raggi X in stato "ACTIVE"

La velocità del flusso solare (2,8 GHz) alle ore 20,00 del 23 Novembre è risultata a 119.7 – (122.9)

La media mensile del flusso solare ad oggi risulta di 111.8 – (111.4)

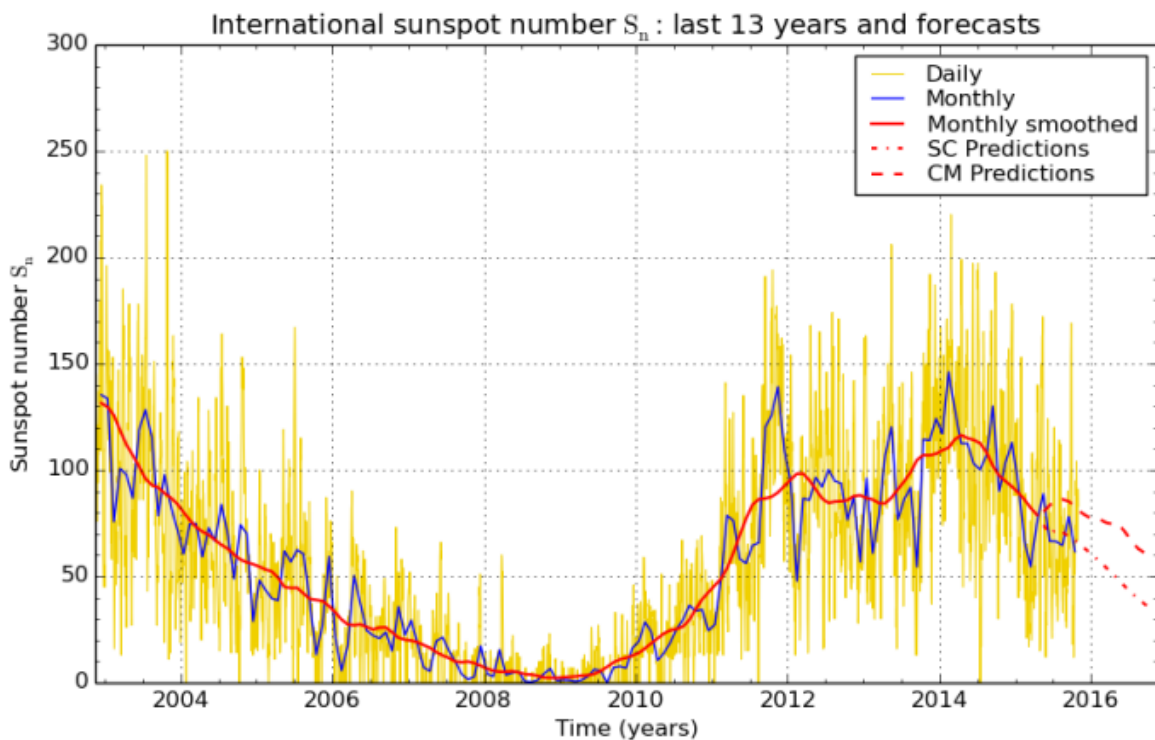
Il conteggio delle macchie solari (conteggio SILSO) del 23 Novembre è risultato di 55 – (57) macchie.

La media mensile delle macchie solari ad oggi risulta di 66.5 – (66.8) SSN



SILSO graphics (<http://sidc.be/silso>) Royal Observatory of Belgium, 2015 November 23

Il conteggio delle macchie solari (SILSO) nell'ultimo mese



SILSO graphics (<http://sidc.be/silso>) Royal Observatory of Belgium 2015 November 1

L'andamento dell'attività solare negli ultimi 13 anni e forecast (linea tratteggiata). Grafico del centro di conteggio SILSO

La media mensile dell'indice Ap è risultata nella giornata di ieri di 14.4

La velocità del vento solare attuale è di 331.9 Km/s

La densità del vento solare attuale è di 1.9 protons/cm³

L'indice A attuale è di 4

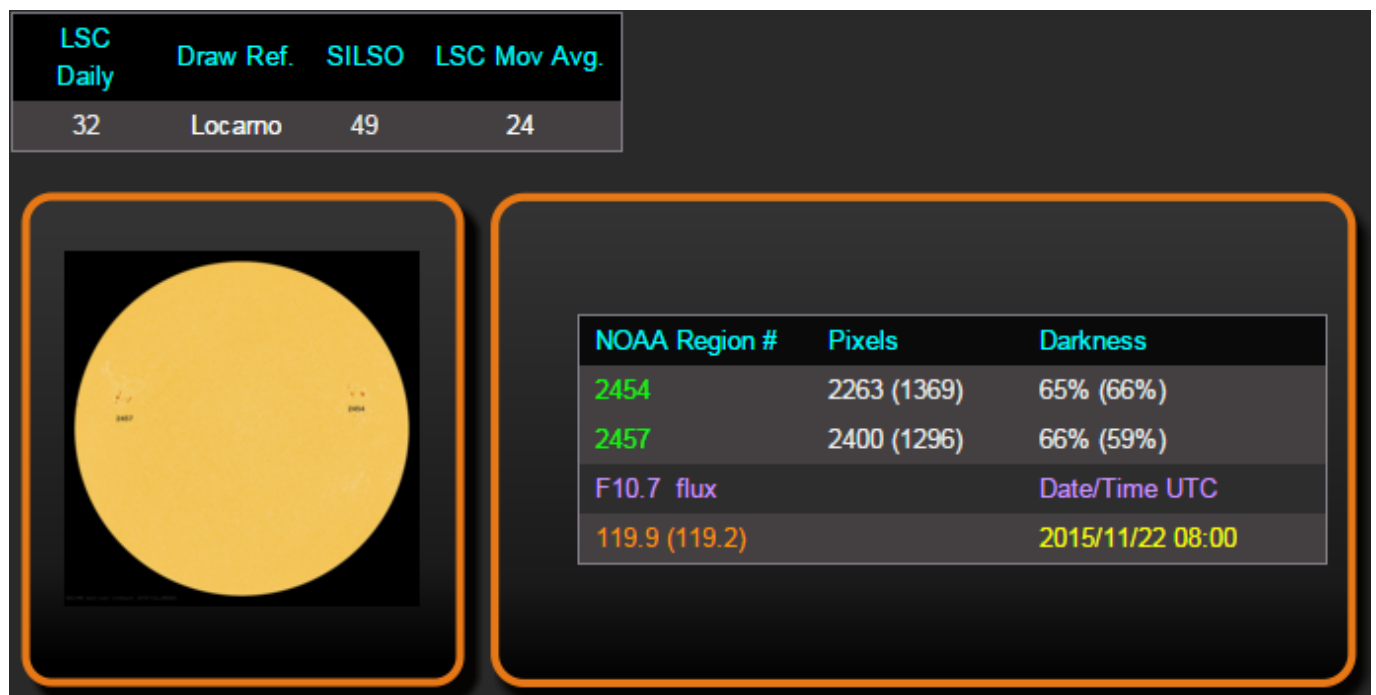
L'indice K attuale è di 1

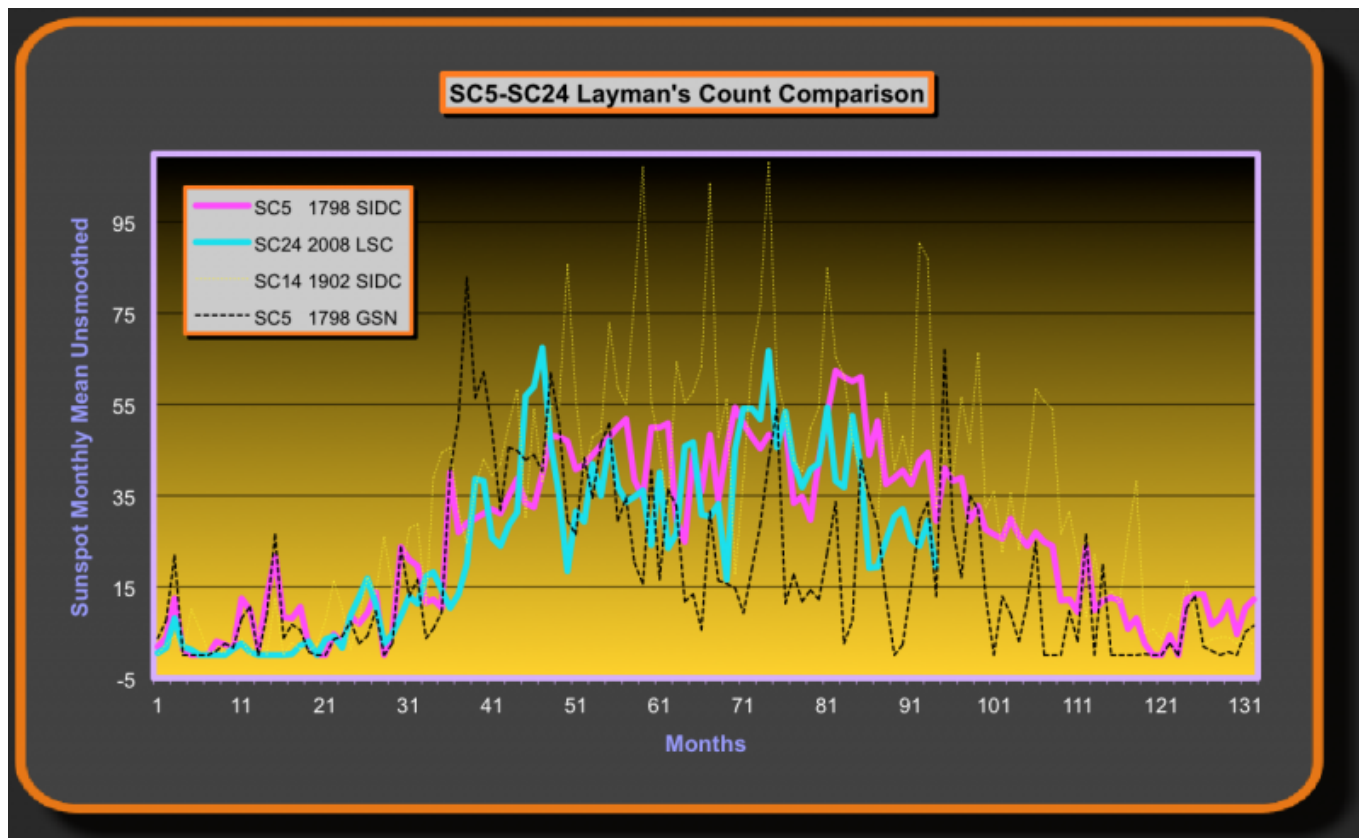
Il flusso dei raggi X attuale risulta di classe B 5.6

La componente BZ attuale è di 1.0 nT

Il conteggio delle macchie solari con il metodo del Layman's sunspot count (gestito da Geoff Sharp), nella giornata del 22 Novembre alle ore 08:00 (ultimo aggiornamento disponibile) è risultato con un conteggio di 32 che portano la media mensile a 24 (SSN).

Al momento il mese di Novembre 2015 ha totalizzato 9 giorni SPOTLESS.





Confronto tra i due cicli, il ciclo 5 (minimo di Dalton colore fucsia) e il ciclo 24 (ciclo attuale colore azzurro) per il metodo di conteggio del Layman's

Aggiornamento del Campo Magnetico Polare del 21 Novembre 2015

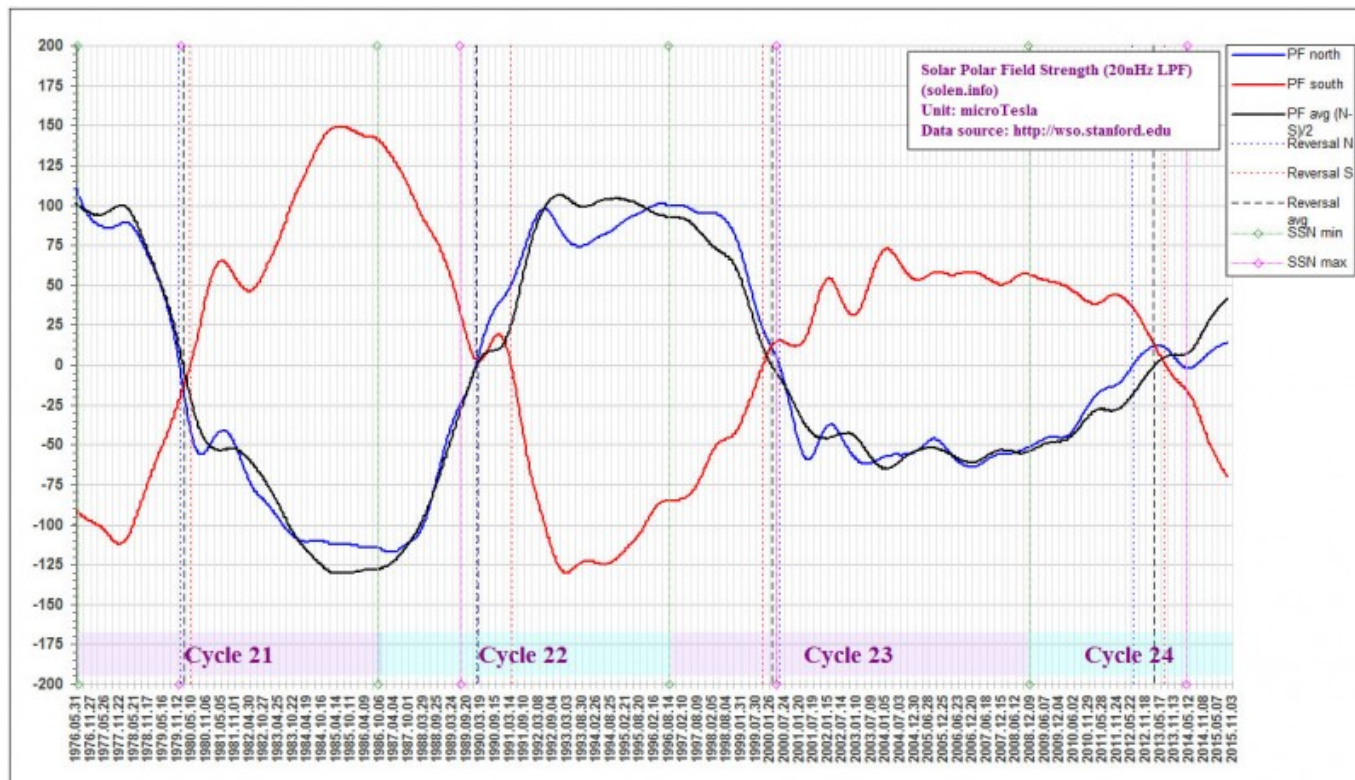
Come nostra consuetudine diamo uno sguardo all'ultimo aggiornamento del campo magnetico solare, sui dati raccolti dal prestigioso Osservatorio di Wilcox Solar Observatory (WSO) dell'Università di Stanford.

Il dati aggiornati al 21 Novembre 2015 e che fanno riferimento al 03 Novembre 2015, mettono ancora una volta in evidenza come l'emisfero nord abbia ormai intrapreso un andamento molto rallentato. In questo aggiornamento l'emisfero nord avanza di un punto e si porta a 18Nf. Al contrario l'emisfero sud rimane fermo a -72Sf. Con questa situazione di stallo anche il dato mediato risulta fermo e molto basso a 45Avgf.

2015:03:08_21h:07m:13s	17N	-50S	33Avg	20nhz	filt:	10Nf	-55Sf	33Avgf
2015:03:18_21h:07m:13s	27N	-49S	38Avg	20nhz	filt:	11Nf	-56Sf	34Avgf
2015:03:28_21h:07m:13s	24N	-52S	38Avg	20nhz	filt:	11Nf	-57Sf	34Avgf
2015:04:07_21h:07m:13s	15N	-56S	36Avg	20nhz	filt:	12Nf	-59Sf	35Avgf
2015:04:17_21h:07m:13s	11N	-59S	35Avg	20nhz	filt:	12Nf	-60Sf	36Avgf
2015:04:27_21h:07m:13s	13N	-61S	37Avg	20nhz	filt:	12Nf	-60Sf	36Avgf
2015:05:07_21h:07m:13s	16N	-64S	40Avg	20nhz	filt:	13Nf	-61Sf	37Avgf
2015:05:17_21h:07m:13s	15N	-66S	41Avg	20nhz	filt:	13Nf	-62Sf	38Avgf
2015:05:27_21h:07m:13s	12N	-80S	46Avg	20nhz	filt:	14Nf	-63Sf	38Avgf
2015:06:06_21h:07m:13s	6N	-76S	41Avg	20nhz	filt:	14Nf	-64Sf	39Avgf
2015:06:16_21h:07m:13s	5N	-75S	40Avg	20nhz	filt:	14Nf	-65Sf	39Avgf
2015:06:26_21h:07m:13s	5N	-74S	40Avg	20nhz	filt:	15Nf	-65Sf	40Avgf
2015:07:06_21h:07m:13s	10N	-74S	42Avg	20nhz	filt:	15Nf	-66Sf	40Avgf
2015:07:16_21h:07m:13s	13N	-74S	43Avg	20nhz	filt:	15Nf	-67Sf	41Avgf
2015:07:26_21h:07m:13s	13N	-69S	41Avg	20nhz	filt:	15Nf	-67Sf	41Avgf
2015:08:05_21h:07m:13s	12N	-66S	39Avg	20nhz	filt:	16Nf	-68Sf	42Avgf
2015:08:15_21h:07m:13s	14N	-63S	38Avg	20nhz	filt:	16Nf	-68Sf	42Avgf
2015:08:25_21h:07m:13s	17N	-64S	40Avg	20nhz	filt:	16Nf	-69Sf	43Avgf
2015:09:04_21h:07m:13s	19N	-67S	43Avg	20nhz	filt:	17Nf	-69Sf	43Avgf
2015:09:14_21h:07m:13s	19N	-68S	44Avg	20nhz	filt:	17Nf	-70Sf	43Avgf
2015:09:24_21h:07m:13s	20N	-70S	45Avg	20nhz	filt:	17Nf	-70Sf	44Avgf
2015:10:04_21h:07m:13s	22N	-71S	47Avg	20nhz	filt:	17Nf	-71Sf	44Avgf
2015:10:14_21h:07m:13s	24N	-64S	44Avg	20nhz	filt:	18Nf	-71Sf	44Avgf
2015:10:24_21h:07m:13s	26N	-67S	46Avg	20nhz	filt:	18Nf	-72Sf	45Avgf
2015:11:03_21h:07m:13s	25N	-64S	44Avg	20nhz	filt:	18Nf	-72Sf	45Avgf

I dati grezzi e filtrati del campo polare del sole

<http://wso.stanford.edu/Polar.html#latest>



L'andamento degli ultimi 4 cicli solari del Campo Polare solare

<http://www.solen.info/solar/polarfields/polar.html>

Enzo

Attività Solare